

## 圧電세라믹의 필터 特性에 미치는 $K_p, Q_m$ 의 영향 $Pb(Mg_{1/3} Nb_{2/3})O_3 - PbTiO_3 - PbZrO_3$

김 광 일 · 조 상 희\*  
산업과학기술연구원  
경북대학교 재료공학과  
(1987년 3월 5일 접수)

### Effects of $K_p, Q_m$ on Filter Characteristics of $Pb(Mg_{1/3} Nb_{2/3})O_3 - PbTiO_3 - PbZrO_3$ Ceramics

Kwang-II Kim and Sang-Hee Cho\*

Research Institute of Industrial Science & Technology  
Department of Materials Sci. & Eng., Kyung Pook National Univ.  
(Received March 5, 1987)

#### 요 약

0.1  $Pb(Mg_{1/3} Nb_{2/3})O_3 - yPbTiO_3 - zPbZrO_3$  제 압전세라믹스의 소결체 및 3단자망 필터를 제작하였다. 온도( $20^\circ C - 100^\circ C$ )와 시간(100 hours)에 따른 공진주파수 변화가 필터 특성에 미치는 영향을 검토하였다.

그 결과 상경계점은  $45 \leq y \leq 50$  과  $40 \leq z \leq 45$  인 조성에 있음을 알 수 있었다. 경시효과는  $y, z = 45$  인 조성에서 100 시간 경과후 0.05% 로 가장 좋은 특성을 보였다. 온도에 따른 공진주파수의 변화는  $y = 50$  과  $z = 40$  인 조성에서  $100^\circ C$  상승시 까지 0.1% 안정된 특성을 보였다.

3 단자망 필터는 전기기계적합계수가 클수록 통과대역폭이 넓어지고 기계적품질계수가 클수록 필터특성곡선은 예리하게 나타나서 이상적인 형태에 가까와지지만  $K_p$  와  $Q_m$  값이 상호 복합적으로 작용하여 필터특성을 결정한다는 것을 알 수 있었다.

#### ABSTRACT

The system of 0.1 $Pb(Mg_{1/3} Nb_{2/3})O_3 - yPbTiO_3 - zPbZrO_3$  piezoelectric ceramics was made in the radial mode disk and ring dot type filter. The resonant frequency (fr) variations were investigated for 100 hours and the temperature range from  $20^\circ C$  to  $100^\circ C$ .

As the results, the morphotropic phase boundary was supposed to be the composition of  $45 \leq y \leq 50$  and  $40 \leq z \leq 45$ . The best characteristic of ageing effect, after 10-hours, was composed of  $y, z = 45$ . The stabilized characteristic of temperature variation, to become 0.1% up to  $100^\circ C$ , was composed of  $y=50$  and  $z=40$ .

The bandwidth was broadened with increasing the electromechanical coefficient ( $k_p$ ), and the filter characteristics was approached ideal mode with increasing mechanical quality factor( $Q_m$ ).  $K_p$  and  $Q_m$  affected combinationally on filter characteristics.

1. 序 論

壓電세라믹은 電氣的에너지를 機械的에너지로 機械的에너지를 電氣的에너지로 變換시키는 성질을 갖고 있으며 音響素子, 壓電着火素子, 遲延素子, 필터 및 壓電變壓器 等に 광범위하게 利用된다.

필터란 특정주파수의 信號를 통과 혹은 차단시키는 技能을 가진 電子素子로서 세라믹필터, LC필터, crystal 필터, 機械的(mechanical) 필터 등이 있으며 세라믹 필터는 적용 주파수범위가 10 kHz ~ 100 MHz 이고 帶域通過(band pass)필터, 帶域靜止(band stop)필터로서 使用된다. 세라믹필터는 設計가 容易하고 세라믹의 機械的振動을 活用한 것이므로 주변회로에 영향을 주지 않으며 소형화 및 고형화가 용이하고, 대량 생산이 가능한 點이 있다.

壓電세라믹을 評價하는데 있어서 중요한 인자로서는 電氣機械結合系數(k) 및 機械的品質系數( $Q_M$ ) 등이 있다. 그러나 k 및  $Q_M$ 은 直接測定할 수 없고 共振周波數( $f_r$ ), 反共振周波數( $f_a$ ), 공진저항( $Z_r$ ), 용량(C) 등에 의해 실험식으로 계산되어진다. k 및  $Q_M$ 은 材料의 선택에 따라 그 값이 변하는데 첨가물,<sup>1,3)</sup> 조성,<sup>4,5)</sup> 분극의 조건,<sup>1,6)</sup> 및 하소와 소결 온도<sup>7,8)</sup> 등에 의해 크게 영향을 받는다고 알려져 있다.

본 研究에서는 Mg와 Nb를 제 3 성분으로 하고 세라믹필터로서의 應用을 위하여 k와  $Q_M$  값을 증가시킬<sup>10)</sup> 목적으로  $MnO_2$ 와  $NiO$ 를 첨가하여  $Pb(Mg_{1/3}Nb_{2/3})O_3 - PbTiO_3 - PbZrO_3$ 계 壓電세라믹을 製造하였으며 그 基本特性 및 필터特性을 아래와 같이 체계적으로 檢討하였다. 즉

1. 組成이  $f_r$ ,  $f_a$ ,  $k_p$ \* 및  $Q_M$ 에 미치는 영향
2. 經時效果(aging effect)
3. 溫度特性
4.  $k_p$ 와  $Q_M$  값이 필터特性에 미치는 영향 등이다.

本 研究結果 조성의 變化에 의한  $k_p$ 와  $Q_M$  값의 變化가 세라믹 필터의 通過帶域幅(bandwidth) 및 形態因子(shape factor)에 영향을 끼침을 알 수 있었다. 그러므로 제작할 때 조성비의 선택이 매우 중요함을 알 수 있다.

2. 實驗 및 測定

1) 試片의 製造

그림 1은 本 實驗에서 使用한 습식볼밀法에 의한 試片의 製造工程을 나타낸 것이다.

\*원판형 mode의 전기기계계합계수

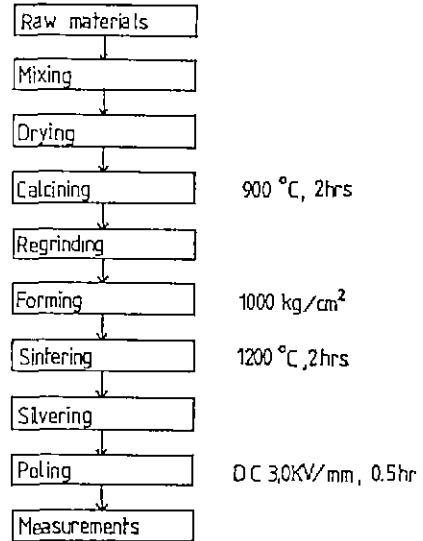


Fig. 1. Flow diagram of experimental process

原料試藥은  $PbO$ ,  $ZrO$ ,  $TiO_2$ ,  $MgO$ ,  $Nb_2O_5$ ,  $MnO_2$  및  $NiO$ 였다. 원료시약은 公히 순도 99.5% 이상의 특급시약을 使用하였다. 여기에서 소결할때  $PbO$ 가 휘발하기 쉬우므로, 發발량의 보상과 소결특성을 높이기 위하여 기본 조성의 0.03 mol %만큼  $PbO$ 를 과잉 첨가하였다.

원료의 組成은 表 1과 같이  $xPb(Mg_{1/3}Nb_{2/3})O_3 - yPbTiO_3 - zPbZrO_3$ 에서  $x=0.1$ 로 고정시키고  $y$ 는 0.25 ~ 0.6,  $z$ 는 0.3 ~ 0.65 까지 變換시키고  $k_p$ 와  $Q_M$  값을 향상시키기 위하여  $MnO_2$ 와  $NiO$ 를 각각 0.5 wt %씩 첨가하였다.

원료를 정해진 重量비에 따라  $\pm 10^{-4} g$ 의 精度도로 稱量하여, 원료와 볼 및 증류수를 1 : 1 : 1의 重量비로 하여 10시간 혼합하였다. 이때 使用한 볼은 자연

Table 1. Composition of Samples

Sample	CONTENT (mole%)		
	$Pb(Mg_{1/3}Nb_{2/3})O_3$	PT	PZ
A	10	60	30
B	10	50	40
C	10	45	45
D	10	40	50
E	10	35	55
F	10	25	65

산 玉石이고 용기는 폴리에틸렌으로 만들어진 직경이 9 cm이고 높이가 12 cm인 원통형이다. 혼합기의 회전 속도는 120 rpm으로 하였다. 혼합된 원료를 100°C에서 충분히 건조시킨후, 이 건조 분말을 알루미늄이 도가니에 넣고 밀폐시킨후 900°C에서 2시간 하소하였다. 전기로의 상승 및 하강온도는 200°C/hr로 하였다. 하소시킨 분말을 혼합시와 같은 조건으로 8시간 동안 재 분쇄하여 약 100°C에서 충분히 건조시켰다. 결합제는 5 wt %의 PVA수용액을 사용하였으며 하소 분말에 대하여 3 wt % 첨가하여 1 ton/cm<sup>2</sup>의 압력으로 성형하였다. 성형후 450°C에서 1시간동안 유지하여 PVA를 태웠다. 성형된 시편을 그림 2와 같이 도가니에 넣고 완전히 밀폐시켰다. 이때 전기로의 상승 및 하강온도는 200°C/hr로 하였으며 1200°C에서 2시간 동안 유지시켜 소결을 하였다. 전기로내의 온도를 800°C까지 하강시킨 후 전원을 차단하여 상온까지 자연냉각 하였다.

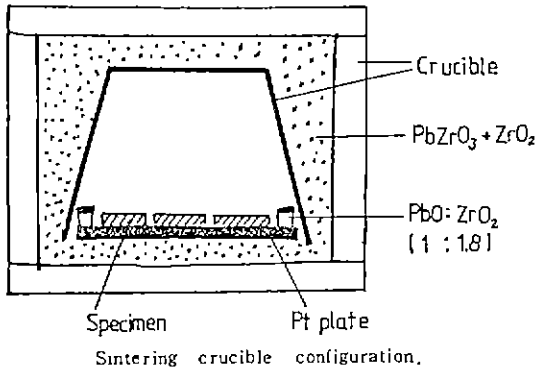


Fig. 2. Sintering crucible configuration.

800 번 SiC페이퍼를 사용하여 소결된 시편의 두께를 0.7 mm로 연마하였고 이때 직경은 12 mm였다. 연마된 시편의 표면을 알코올로 깨끗이 세척하고 그림 3과 같은 형태로 은전극을 스크린 인쇄법으로 부착하였다. 이때 공진 및 유전현상을 측정하기 위해서, 앞, 뒤면을 A와 같이 부착하였고 필터특성 측정을 위해서는 앞면은 B와 같이 뒷면은 A와 같이 부착하였다. 이때 전극용 페이스트는 Du-Pont 7095를 사용하였고 600°C에서 10분동안 열처리 하였다.

2) 性特의 測定

X선 회절장치를 사용하여 하소분말 및 소결시편의 X선 회절모양을 관찰하여 PZT의 생성을 확인하였다. 본 실험에서 제특성의 측정을 위해 사용한 장비와 측정범위는 표 2와 같다.

분극처리에는 전극을 부착시킨 시편을 실리콘오일속에 넣고 80°C로 항온유지시켜 30분동안 3 kV/mm의 직류전압으로 분극 (poling)시켰다. 분극처리된 시편을 24시간 공기중에 방치후 벡타임퍼던스메타와 주파수

Table 2. Measuring Equipments.

Measurement	Measuring apparatus	Remark
Density	Archimedes method	
Dielectric Constant, Dielectric loss and C	HP, 4270 (automatic capacitance bridge)	Frequency: 1KHz
$f_r, f_a, f_p$ and $Z_r$	HP, 4800 (vector impedance meter) HP, 5300 A (frequency counter)	
Attenuation	HP, 3575 A (gain - phase meter) HP, 209 A (oscillator)	10 V RMS

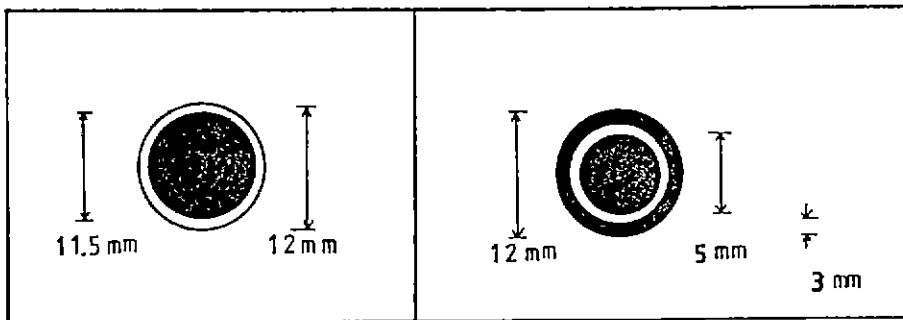


Fig. 3. Electrode patterns of sample.

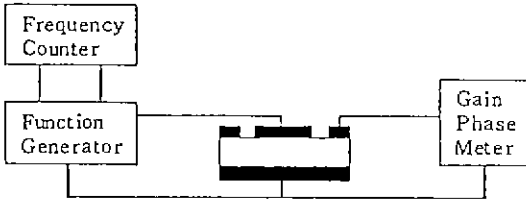


Fig. 4. Block diagram for filter characteristics measurement.

계수기를 사용하여 임피던스-주파수 관계를 측정하였다.

필터특성을 측정하기 위해 만든 3 단자망 세라믹필터(ring-dot type)는 ring과 dot에 공히 양극을 걸고 뒷면에 음극을 걸어서 분극시켰으며 그 특성을 측정하기 위한 측정장비 배치는 그림 4와 같다.

### 3. 結果 및 考察

#### 3.1 조성에 따른 $K_p$ 와 $Q_M$ 의 변화

제조된 시편의 소결 밀도는  $7.6 \sim 7.8 (g/cm^3)$  의 값을 나타내었다.  $K_p$  는 분극처리한 시편의 임피던스-주파수 곡선에서  $f_r$  과  $f_a$  를 측정하여 시편을 원판형으로 제조 하였으므로 계산할 수 있다.<sup>10)</sup> 즉,

$$\frac{1}{K_p^2} = a \frac{f_r}{f_a - f_r} + b$$

여기서,  $f_r$  은 최저 공진주파수,  $f_a$  는 최저 반공진 주파수, a 는 상수이며 그 값은 0.395 이고 b 는 0.574 이다.

$Q_M$  역시 다음과 같은 실험식으로 계산할 수 있다. 즉

$$Q_M = \frac{1}{2\pi f_r Z_r C \{ 1 - (f_r / f_a)^2 \}}$$

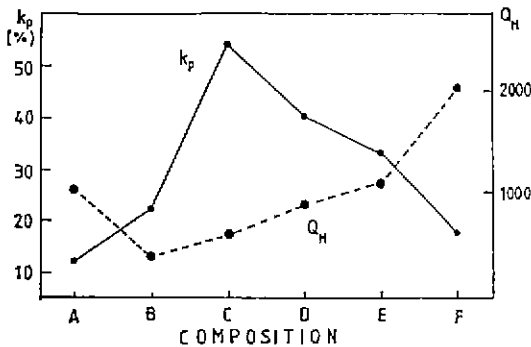


Fig. 5.  $K_p$  and  $Q_M$  as a function of composition.

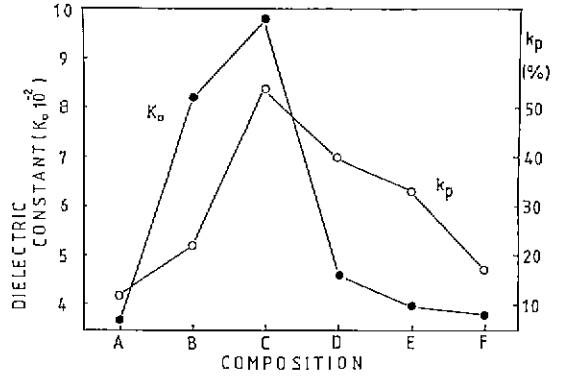


Fig. 6.  $K_0$  and  $K_p$  as function of composition.

그림 5 는 각 조성에 대한 전기기계결합계수( $K_p$ )와 기계적 품질계수( $Q_M$ )의 변화를 나타낸 것이다.  $K_p$  는 C 조성에서 최대가 되고 A와 F 조성으로 갈수록 점차 감소하고  $Q_M$  은 B 조성에서 최소, A와 F 조성으로 갈수록 점차 증가하였다. 이상의 결과로  $K_p$  값은  $PbTiO_3$  와  $PbZrO_3$  의 상경계 지점에서 가장 높으므로<sup>9)</sup>, 상경계지점은 C 조성근처에 있음을 알수있고, 상경계점 부근에서  $K_p$  값의 변화가 급격함을 알 수 있다.

#### 3.2 조성에 따른 유전 및 Curie 온도 변화

그림 6 은 조성에 따른 유전상수( $K_0$ ) 값의 변화를 나타낸 것이다. A와 F 조성에서 C 조성으로 갈수록 급격히 증가함을 알수 있고  $K_p$  값이 최대일때 유전상수 역시 최대이고  $K_p$  값이 최소일때 유전상수 역시 최소로서  $K_p$  와 같은 경향을 보임을 알수있다.

큐리온도(Curie temperature)는 유전체에 있어서 강유전체가 상유전체, 상유전체가 강유전체로 전이되는 온도로서, 유전체에 열을 가하면 유전상수가 서서히 증가하다가 큐리온도 부근에서 급격히 증가한 후 큐리온도를 기점으로 감소한다. 그러므로 이와같은 방법으로 큐리온도 측정이 가능하다. 특히 전자부품으로 응용시 이온도는 사용가능 온도를 결정해준다. 그리고 큐리온도는 상경계 지점에서 변곡점을 가지는 것으로 알려져 있다.<sup>11)</sup>

그림 7 은 각 조성에 대한 큐리온도를 나타낸 것으로 각 조성모두  $200^\circ C$  이상의 큐리점을 가지고 있다. 큐리온도는 A 조성에서 점차 감소하다가 B와 C 조성 사이에서 변곡점을 가지고 다시 F 조성까지 감소하였다.

분극처리된 세라믹압전체는 결정립 내부의 전기쌍극자 분역(domain) 들이 다소 높은 에너지의 불안정한 상태로 배열되어 있기 때문에, 분역들이 안정한 상태로 재 배열 되려는 경향을 가지게 된다. 따라서 시간

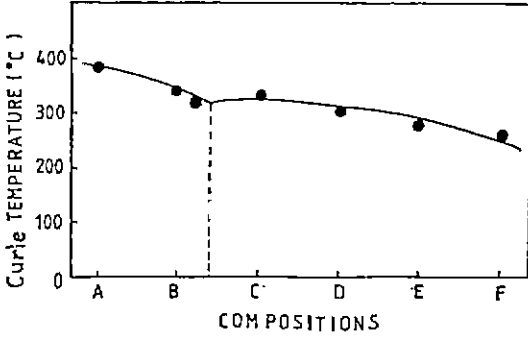


Fig. 7. Curie temperature,  $T_c$ , as a function of composition.

이 경과함에 따라 압전성이 변하게 되는데 이를 경시효과라 한다.

3.3 온도 및 경시변화가 공진주파수에 미치는 영향

그림 8은 분극처리후 20시간이 경과한 뒤에 측정된 공진주파수를 기준으로 하여 경과된 시간에 따른 공진주파수의 변화율을 나타낸 것이다. 20시간 경과후의 공진주파수를  $f_r(20)$ ,  $t$ 시간 경과후의 공진주파수를  $f_r(t)$ 라 하면, A, B와 C조성은 시간이 경과함에 따라 공진주파수가 감소하나 D, E 및 F조성은 시간이 경과함에 따라 증가함을 보여준다. 시효율은 전조성모두 0.2% 내의 안정된<sup>3)</sup> 변화율을 보였으며, 특히 C조성은 0.05% 내의 극히 안정된 변화율을 보였다.

그림 9는 공진주파수의 온도에 따른 변화율을 나타낸 것이다. A~E 조성까지는 온도상승에 따라 공진주파수가 감소하나 F 조성은 증가하였다. A조성은 80

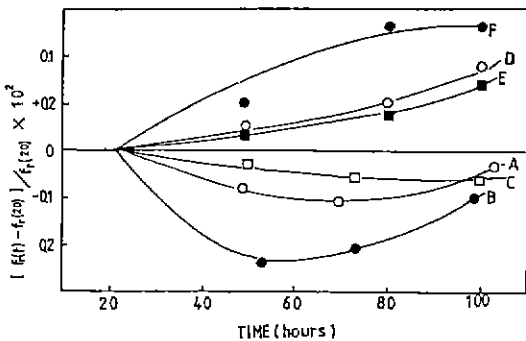


Fig. 8. Aging phenomena of resonant frequency at room temperature  
 $f_r(t)$ : the resonant frequency at time,  $t$   
 $f_r(20)$ : the resonant frequency at  $t=20$  hrs

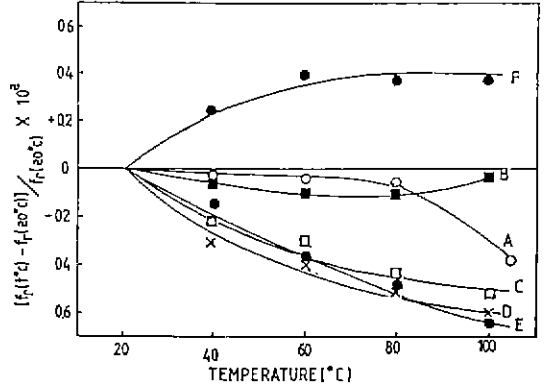


Fig. 9. Variation of resonant frequency from 20 to 85°C.

°C까지는 안정된 변화를 보이거나 그이후 급격히 감소하였다. 이때 온도의존성이 가장 적은 조성은 C임을 알수있다.

$Q_M$  값은 탄성응답의 예리한 정도를 나타내는 상수로서  $Q_M$  값이 클수록 주파수에 민감하게 반응한다는 것을 예측 할수 있다.

일반적으로 필터의 특성은 중심주파수( $f_0$ )와 통과대역폭(B)의 값을 비교하는데, 감쇠량의 단위로 사용하는 dB,  $f_0$  및 B는 아래와 같이 정의한다.

$$dB = -20 \log \frac{V_o}{V_i}$$

$$= -20 \log \frac{I_o}{I_i}$$

$$= -10 \log \frac{P_o}{P_i}$$

$$f_0 = \sqrt{f_L \cdot f_U}$$

$$B = f_U - f_L$$

여기서 V, I와 P는 각각 전압, 전류및 전력을 나타내고 첨자 i와 o는 입력 및 출력을 나타낸다. 이때 필터특성곡선과 3dB 감쇠직선이 만나는 주파수중 높은쪽 주파수를  $f_U$  (upper cutoff frequency) 그리고 낮은쪽 주파수를  $f_L$  (lower cutoff frequency)이라 두었다.

3.4 세라믹스 필터의 특성

제작한 3단자망 세라믹필터의 특성을 조사한 결과, 그림 10과 같이 전기기계결합계수( $K_p$ )에 따라 통과대역 폭이 변화함을 알수있다.  $K_p$  값이 A 조성에서 B 조성까지 서서히 증가하다가 B와 C 조성 사이에서는 급격히 증가한후 다시 감소하는 경향을 나타냈으며 통과대역폭의 변화도  $K_p$  값의 변화와 유사하게 나타냈다. 그러므로 전기기계결합계수가 큰 조성을 택하면 통과

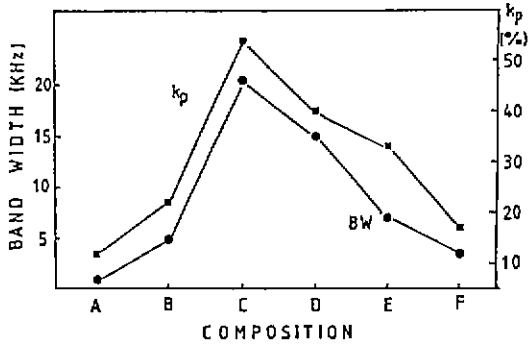


Fig. 10. The relation of bandwidth and  $K_p$  as a function of composition.

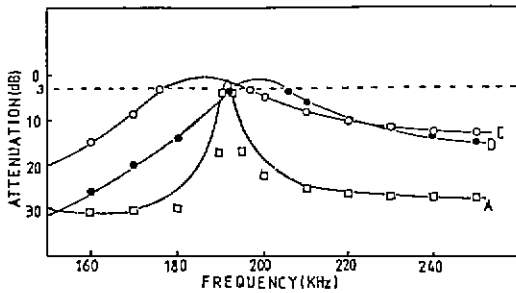


Fig. 11. Attenuation-frequency relations as a function of composition.

대역폭이 큰 세라믹필터를 제작할 수 있음을 알수있다.

그림 11 은 B, C, E 및 F 조성에 대한 3단자망 세라믹필터의 감쇠량을 주파수변화에 대하여 나타낸 필터 특성곡선이다.

$K_p$  값이 작은 F 조성에서 큰 C조성으로 갈수록 통과대역폭이 넓어졌고,  $Q_M$  값이 작은 C 조성에서 F조성으로 갈수록 필터특성곡선의 기울기가 급해져서 좀더 예리해짐을 알수있다. B 조성은 C 조성보다  $Q_M$  값이 작으나 기울기가 좀더 급해진 현상을 보였으므로 이것을 C 조성보다 아주작은  $K_p$  값과 약간작은  $Q_M$  값이 상호 복합적으로 작용한 것으로 추측할 수 있다.

그림 12 역시 A, C 및 D 조성에 대한 감쇠량 - 주파수 관계의 그림표이다. D 조성은 C 조성보다  $K_p$  값이 작고  $Q_M$  값이 클 경우인데, 통과대역폭은 좁아지고 낮은 주파수대의 필터특성곡선 기울기는 비슷하나, 높은 쪽에서의 기울기가 급해지고 중심주파수가 높은 쪽으로 이동하는 결과를 보였다. A 조성은 C 조성에 비하여  $K_p$  값이 극히 작고  $Q_M$  값이 큰 경우이나  $K_p$  와  $Q_M$  값이 상호 복합적으로 작용하여 통과대역폭이 좁아

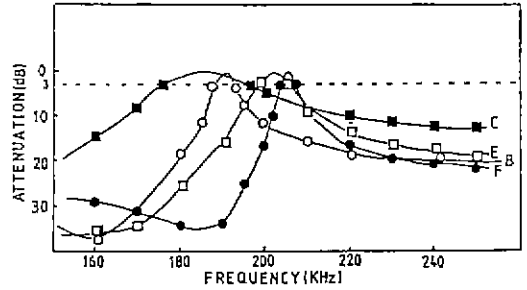


Fig. 12. Attenuation characteristics as a function of composition.

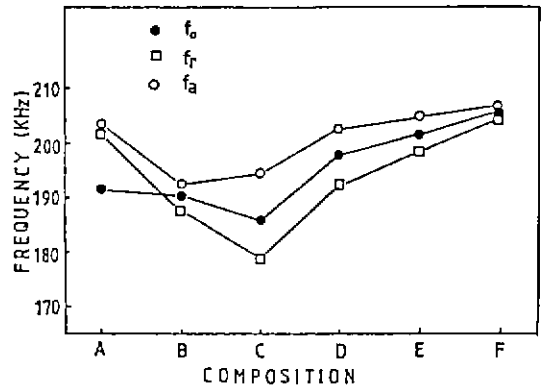


Fig. 13.  $f_r, f_a$  and  $f_o$  vs. composition.

지고 필터특성곡선은 아주 예리해짐을 알 수 있다. 그러므로 지금까지의 결과로  $K_p$  값이 커짐에 따라 통과대역폭은 넓어지고  $Q_M$  값이 커짐에 따라 필터특성곡선이 예리해지는 경향을 보이나, 두개의 값이 상호 복합적으로 작용한다는 것을 알 수 있다.

기본진동을 이용한 경우 세라믹필터의 주파수특성은 파수가 비대칭으로 입, 출력전극(dot, ring)의 분극방향에 같은 경우는 중심주파수를 중심으로 낮은 쪽 주파수대에서 감쇠량이 많은 반면 높은 주파수대에서는 감쇠량이 적게된다. 그러나 입, 출력 전극의 분극방향이 반대인 경우는 낮은 주파수대에서 감쇠량이 작고 높은 주파수대에서는 감쇠량이 큰, 반대 현상이 일어난다.<sup>12)</sup>

본 실험에서는 입, 출력 전극의 방향이 같았으므로 낮은 주파수대에서 감쇠량이 많을 것이라는 예측을 할 수 있고, 그림 11 과 그림 12 의 결과로부터 예측과 결과가 일치함을 알 수 있다.

그림 13 은 공진주파수( $f_r$ ), 반공진주파수( $f_a$ ), 중심주파수( $f_o$ )와 조성의 관계를 나타낸 그림이다. 반공진주파수는 서서히 감소하다가 B 조성에서부터 증가

하는 반면 증심주파수와 공진주파수는 C 조성에서부터 서서히 증가하는 현상을 보였다. B와 C 조성 사이에 상경계점이 있다고 생각했는데 각 주파수 공히 상경계점까지는 감소하다가 상경계점을 지나서 증가하는 경향을 보일 것이라고 추측할 수 있다. 그리고 A 조성에서만 증심주파수가 공진 및 반공진주파수보다 낮은 값을 갖고 B~F 조성까지는 공진 및 반공진주파수 사이에 있음을 알 수 있다.

4. 結 論

$Pb(Mg_{1/3}Nb_{2/3})O_3 - PbTiO_3 - PbZrO_3$  계 압전체 타막의 소결체 및 3 단자망필터를 제작하여 다음과 같은 결론을 얻었다.

경시효과는  $y, z = 45$  인 조성에서 100 시간 경과후 0.05 %로 가장 좋은 특성을 보였다. 온도경시변화는  $y = 50$  과  $z = 40$  인 조성에서 100 °C 상승시까지 0.1 %로 안정된 특성을 보였다.

3 단자망필터는 전기기계결합계수가 클수록 통과대역폭이 넓어지고 기계적품질계수가 클수록 필터특성곡선은 예리하게 나타나서 이상적인 형태에 가까워지지만  $k_p$  와  $Q_M$  값이 상호 복합적으로 작용하여 필터특성을 결정한다는 것을 알았다.

그러므로 필터특성 제어를 위해서는 원하는  $k_p, Q_M$  값을 나타내는 조성의 선택이 중요함을 알 수 있다.

“ 감사의 말씀 ”

본 연구는 동양화학공업주식회사의 기초연구비 지원으로 이루어졌으며 이에 감사의 뜻을 표합니다.

REFERENCES

1. Takahashi, M., and Takahashi, S., "Electromechanical properties of Pb (Zr, Ti)O<sub>3</sub> ceramics containing impurities injected by means of thermal diffusion," *Japan J. Appl. Phys.*, **9**, 1006, 1970.
2. Takahashi, M., "Electric resistivity of lead zirconate titanate ceramics containing impurities," *Japan J. Appl. Phys.*, **10**, 643-651, 1971.

3. Ouchi, H., Nishida, M., and Hayakawa, S., "Piezoelectric properties of Pb(Mg<sub>1/3</sub>Nb<sub>2/3</sub>)O<sub>3</sub>-PbTiO<sub>3</sub>-PbZrO<sub>3</sub> ceramics modified with certain additives," *J. Amer. Ceram. Soc.*, **49**, 577-582, 1966.
4. Jaffe, B., Roth, R. S., and Marzull, S., "Piezoelectric properties of of lead zirconate-lead titanate solid solution ceramics", *J. Appl. Phys.*, **25**, 80-810, 1954.
5. Ouchi, H., Nagano, K., and Hayakawa, S., "Piezoelectric properties. Pb(Mg<sub>1/3</sub>Nb<sub>2/3</sub>)O<sub>3</sub>-PbTiO<sub>3</sub>-PbZrO<sub>3</sub> solid stution ceramics", *J. Amer. Ceram. Soc.* **48**, 630-635, 1965.
6. Takahashi, M., Takahashi, S. Ohno, T., and Tsubouchi, N., "Breakdown of lead zirconate titanate ceramics caused by the application of electric field." *粉體および粉末冶金*, **20** (8) : 14 ~ 19, 1974
7. Ogawa, T., and Wakino, K., "Pore-free piezoelectric ceramics of Mn modified Pb(Sn<sub>1/2</sub>Sb<sub>1/2</sub>)O<sub>3</sub>-PbTiO<sub>3</sub>-PbZrO<sub>3</sub> for surface acoustic wave filters. 日本, 窯業學會誌, **92** (9), 45 ~ 55, 1984.
8. Chung, S. T., Lee, W. I., Cho, S. H., "Effect of calcining temperature on sintering characteristics of PZT," *Journal of the Korean Ceramic Society*, **22**, 40-45, 1985.
9. Chung, S. T., Lee, W. I., Cho, S. H., "Effect of calcining temperature on planar coupling factor and resonance characteristics of PZT." *Journal of the Korean Ceramics Society* **22**, (1), 47-52, 1985.
10. 田中哲郎, 岡崎清, 一ノ瀬昇: 壓電セラミツク 材料, 學獻社, 日本(1973), pp.37 ~ 88.
11. Kingon, A. I., and Clark, J. B., "Sintering of PZT ceramics: II, Effect of PbO content of tensification kinetics," *J. Amer. Ceram. Soc.* **66** 256-260, 1983.
12. 電子材料工業會: 壓電セラミツクとその應用, 電波新聞社, 東京(1974) pp.269